



$$ik_j = \begin{cases} -\frac{1}{K_y} \frac{1}{\alpha^3} \left[ \frac{\sinh \alpha b_i}{\sinh \alpha L} \sinh \alpha (L - b_j) - \frac{\alpha b_i + C_w}{\alpha L + 2C_w} \{ \sin(L - b_j) + C_w \} \right] & i < j \\ -\frac{1}{K_y} \frac{1}{\alpha^3} \left[ \frac{\sinh \alpha (L - b_i)}{\sinh \alpha L} \sinh \alpha b_j - \frac{\alpha (L - b_i) + C_w}{\alpha L + 2C_w} \{ \sin(L - b_j) + C_w \} \right] & i > j \end{cases} \quad (9)$$

次に、Maxwell-Betti の相反法則を用いれば（三径間連続直交異方性板の場合）

$$\int_0^a (\sin \frac{\pi}{L} b_i X_{1(m)} f_{(m)} \sin \frac{\pi}{a} x \{ f_1 + f_2 + f_3 \} + \sin \frac{\pi}{L} b_2 X_{2(m)} f_{(m)} \sin \frac{\pi}{a} x \{ f_2 + f_3 + f_1 \}) \\ + \sin \frac{2\pi}{L} b_1 X_{1(m)} f_{(m)} \sin \frac{\pi}{a} x \{ f_1 + f_2 + f_3 \} + \sin \frac{2\pi}{L} b_2 X_{2(m)} f_{(m)} \sin \frac{\pi}{a} x \{ f_2 + f_3 + f_1 \} - F_{(m)} \sin \frac{\pi}{a} x \cdot \delta_{10(m)} dx = 0 \quad (10)$$

$$\int_0^a (\sin \frac{\pi}{L} b_1^2 X_{1(m)} f_{(m)} \sin \frac{\pi}{a} x \{ f_1 + f_2 + f_3 \} + \sin \frac{\pi}{L} b_2^2 X_{2(m)} f_{(m)} \sin \frac{\pi}{a} x \{ f_2 + f_3 + f_1 \} \\ + \sin \frac{2\pi}{L} b_1^2 X_{1(m)} f_{(m)} \sin \frac{\pi}{a} x \{ f_1 + f_2 + f_3 \} + \sin \frac{2\pi}{L} b_2^2 X_{2(m)} f_{(m)} \sin \frac{\pi}{a} x \{ f_2 + f_3 + f_1 \} - F_{(m)} \sin \frac{\pi}{a} x \cdot \delta_{20(m)} dx = 0 \quad (11)$$

となる。式(10)および式(11)に式(1)、式(2)を代入して整理すれば、 $b_2 = 2b_1$

$$X_{1(m)} = X_{2(m)}, \quad X_{1(m)} = 2X_{2(m)}, \quad \int_0^a \sin^2 \frac{\pi}{a} x dx = \frac{a}{2} \quad \text{であり、式(10)、式(11)は}$$

$$X_{1(m)} \{ \sin^2 \frac{\pi}{L} b_1 + \sin^2 \frac{\pi}{L} b_2 \} A_1 + X_{2(m)} \{ \sin \frac{2\pi}{L} b_1 \sin \frac{\pi}{L} b_1 + \sin \frac{2\pi}{L} b_2 \sin \frac{\pi}{L} b_2 \} A_1 = F_{(m)} \delta_{10(m)}$$

$$2X_{2(m)} \{ \sin^2 \frac{\pi}{L} b_1 + \sin^2 \frac{\pi}{L} b_2 \} A_2 + X_{1(m)} \{ \sin \frac{\pi}{L} b_1 \sin \frac{2\pi}{L} b_1 + \sin \frac{\pi}{L} b_2 \sin \frac{2\pi}{L} b_2 \} A_2 = F_{(m)} \delta_{20(m)}$$

$$\text{となり、直交条件 } \sum_{i=1}^2 \sin \frac{\pi}{L} b_i \sin \frac{\pi}{L} b_i = 0 \quad (j \neq k) \quad (12)$$

$$\text{を用いれば } jX_{(m)} = \frac{P \cdot \delta_{j0(m)}}{A_j \sum_{i=1}^2 \sin^2 \frac{\pi}{L} b_i} \quad j = 1, 2 \quad (13)$$

で不静定線分布荷重の $jX_{(m)}$ が求まる。ここで、 $A_j$ と $\delta_{j0(m)}$ を表示すれば

$$A_j = \sum_{k=1}^2 K_{kj} \frac{\sin \frac{\pi}{L} b_k}{\sinh \frac{\pi}{L} b_k} + G = j \text{に関する定数 } j=1, 2 \quad (14)$$

$$\delta_{j0(m)} = \sum_{k=1}^2 K_{kj} \sin \frac{\pi}{L} b_k \quad (15)$$

で求まる。次に、一般に多径間連続直交異方性板（ $(m+1)$  径間の場合）は

Maxwell-Betti の相反法則を用いれば、式(10)、式(11)に相当する式は

$$\int_0^a \left[ \sum_{j=1}^{m+1} \sum_{i=1}^m \sin \frac{\pi}{L} b_i j X_{(m)} f_{(m)} \sin \frac{\pi}{a} x \cdot B_i - F_{(m)} \sin \frac{\pi}{a} x \cdot \delta_{k0(m)} \right] dx = 0 \quad (16)$$

ただし、 $k = 1, 2, 3, \dots, m$ （中間支点の数だけ） すなわち  $m$  本の仕事連立方程式が得られる。

$$k B_j = \sum_{i=1}^m i K_{ij} \times \sin \frac{\pi}{L} b_i \cdot f_{(m)} \sin \frac{\pi}{a} x + G \times \sin \frac{\pi}{L} b_j \cdot f_{(m)} \sin \frac{\pi}{a} x \quad (17)$$

とする。式(12)、式(13)、式(14)、式(15)と全く同様に誘導することができます。

$$\text{すなわち } jX_{(m)} = \frac{P \cdot \delta_{j0(m)}}{A_j \sum_{i=1}^m (\sin \frac{\pi}{L} b_i)^2} \quad j = 1, 2, 3, \dots, m \quad (18)$$

不静定力 $jX_{(m)}$ が求まれば、たわみ曲面 $W_{(m)}(x, y)$ は

$$W_{(m)}(x, y) = W_{0(m)}(x, y) + \sum_{j=1}^m W_{j(m)}(x, y) \cdot jX_{(m)} \quad (19)$$

で求まる。ここで、 $W_{0(m)}(x, y)$ ：求める点のたわみ曲面

$W_{0(m)}(x, y)$ ：基本系における求める点のたわみ曲面

$W_{j(m)}(x, y)$ ：状態 $j$ の時の求める点におけるたわみ曲面の値

$jX_{(m)}$ ：式(18)で求まる不静定力

曲げモーメント、せん断力は $W_{(m)}(x, y)$ を $y$ について微分することによって求まる。また、弾性横行の曲げモーメント、せん断力は $W_{(m)}(x, y)$ を $x$ について微分することによって求まる。

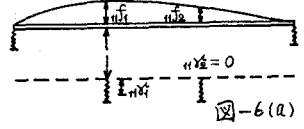


図-6(ア)

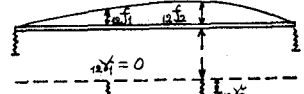


図-6(イ)

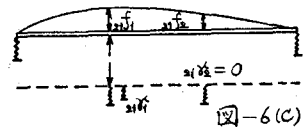


図-6(ウ)

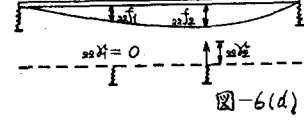


図-6(エ)

#### 4. 理論値と実験値

図-7のような三径間連続直交異方性板を例にとり数値計算と模型実験を行なった。用いた寸法、断面諸元は図-7の通りである。また、 $K_y = 8.4492 \times 10^6 \text{ kg/cm}$ ,  $EJ = 5.0751 \times 10^6 \text{ kg cm}^2$ ,  $H = 1.65717 \times 10^5 \text{ kg cm}/\text{cm}$ ,  $p_0 = 80 \text{ kg/cm}^2$ , 板厚 = 0.23 cm とした。

$n = 98$  項まで

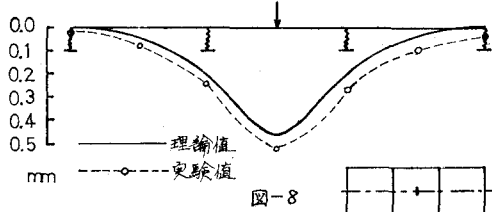


図-8

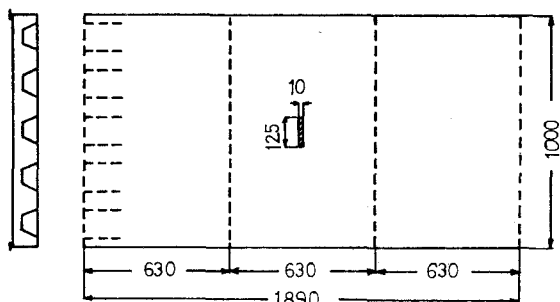


図-7

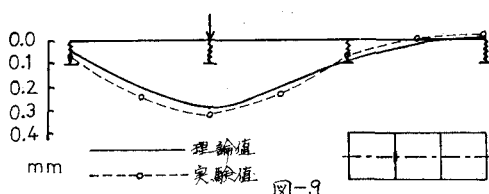


図-9

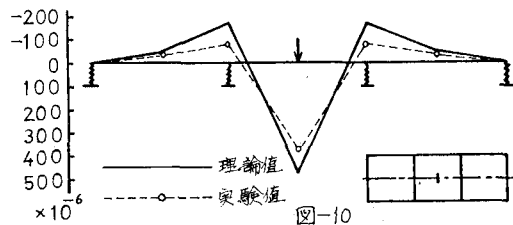


図-10

図-8 は中央径間中央に載荷した時のたわみである。  
図-9 は弾性横行中央に載荷した時のたわみである。  
図-10 は中央径間中央に載荷した時のひずみである。  
図-11 は弾性横行中央に載荷した時のひずみである。  
図-8 ～図-11において、理論値と実験値とがほぼ一致している事がわかる。

#### 5. あとがき

本解析法は弾性横行で支持された直交異方性板の解析を剛支承上の構造系と弾性支承上の構造系に分けないで境界条件に弾性横行を考慮して微分方程式を解き、その解を基本にして、中間弾性支点を切断して、不静定線分布鉛直荷重(組荷重群)  $\sin \frac{n\pi}{L} x_i j_{in} f_{in} \sin \frac{n\pi}{a} x$  を挿入し、仕事連立方程式をつくり、要素  $j_{in}$  以外は全部零要素となるように、直交条件を用いて解くので、逆マトリックスを定める必要はなく、不静定力がすぐに求まる。また、組荷重群を用ひないで、中間弾性支点を切断して、不静定線分布鉛直荷重  $j_{in} f_{in} \sin \frac{n\pi}{a} x$  を 1 つずつ挿入し、仕事連立方程式をつくり、逆マトリックスを求めていく方法とも比較したが全く一致している。

なお、W. Pelican と M. Eulinger の解法との比較については当日発表の予定である。

最後に、本報告における数値計算は、北海道大学大型計算機センターの Facom 230-60 を用いた。

模型実験については、日本鋼管株式会社のご援助を得たので謝意を表したい。

#### 参考文献

- 渡辺昇：橋の影響線の理論と計算法、現代社
- 国広哲男・藤原稔：直交異方性版理論による鋼床版実用設計法、土木研究所報告 130 号の 1, 690 号(補遺)
- W. Pelican と M. Eulinger : Die Stahlfahrbahn Berechnung und Konstruktion, M.A.N Forschungsheft No. 7, 1957